

赵忠尧博士后面试

姓 名：王耀光

合作导师：温良剑 研究员

工作单位：高能物理研究所

2021.06.05

个人介绍

➤ 基本信息

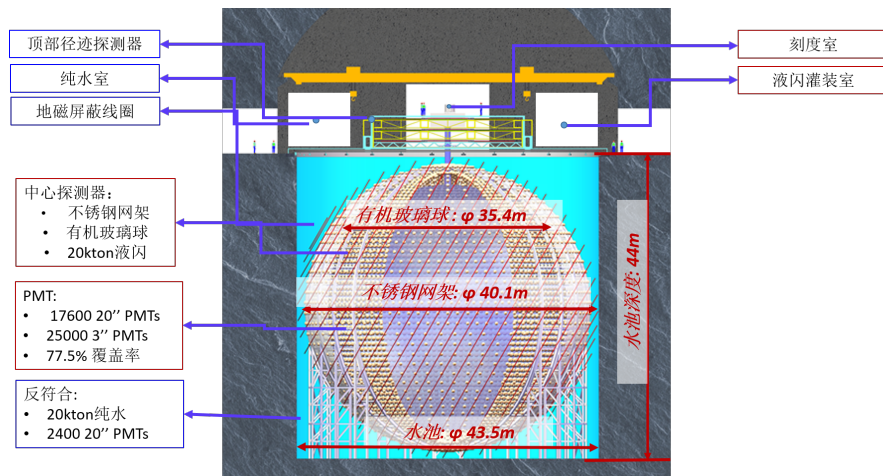
- 姓名：王耀光
- 籍贯：河南省滑县
- 出生日期：1992.06

➤ 教育经历

- 2010.09~2014.06: 中山大学，物理学专业
- 2014.09~2019.12: 武汉大学，理论物理专业，导师：贾俊基 副教授
- 2015.08~2019.01: 高能物理研究所联合培养，导师：温良剑 研究员
- 2020.07至今: 高能物理研究所，博士后，合作导师：温良剑 研究员

➤ 科研工作

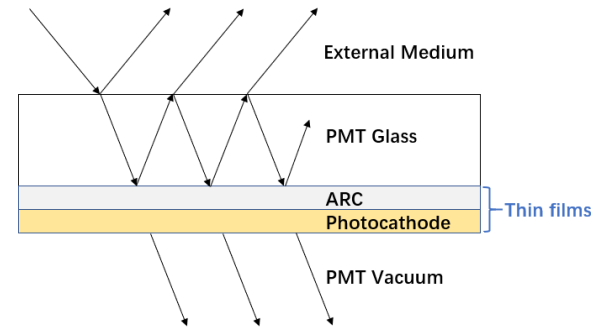
- 参与江门中微子实验 (JUNO)
- 光电倍增管(PMT)模拟、实验研究
- 超新星中微子唯象研究



PMT光学模型

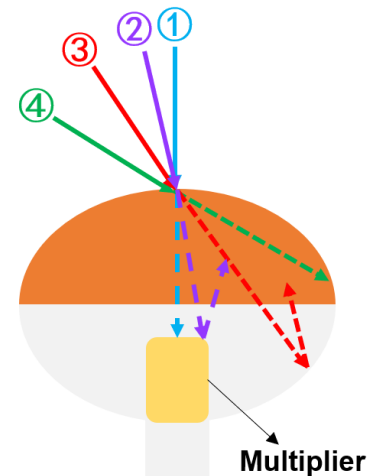
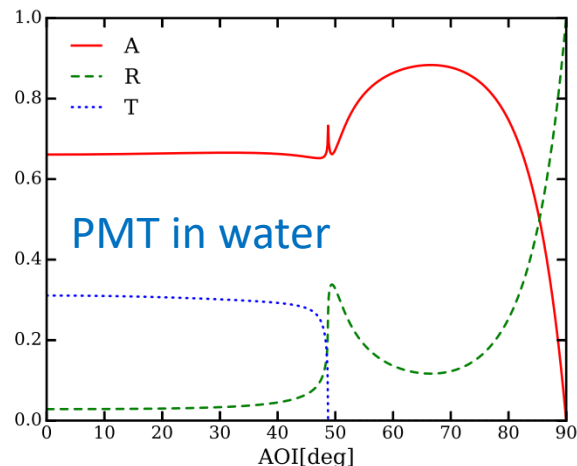
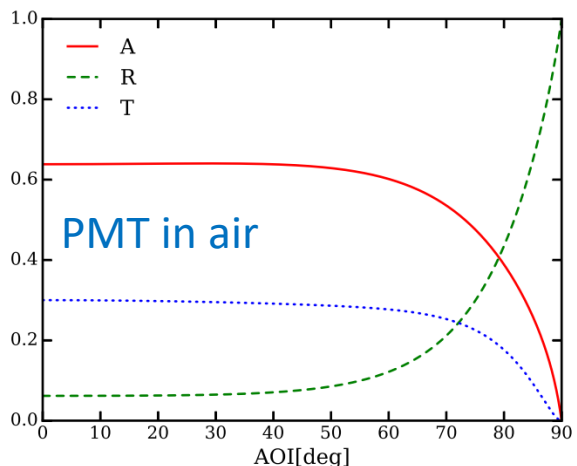
➤ 目标：实现PMT角度响应的精确模拟

- PMT玻壳的多层结构：外部介质-玻璃-增透膜-光阴极-真空
- PMT内部的多次反射



➤ 研究方法

- 理论计算：基于Transfer Matrix Method，计算光在介质中的反射、透过和吸收
- 实验测量：通过PMT玻壳的反射谱获取增透膜以及光阴极光学参数
- Geant4模拟：结合理论计算与实验测量，并在Geant4中添加相关功能，实现对PMT的精确模拟



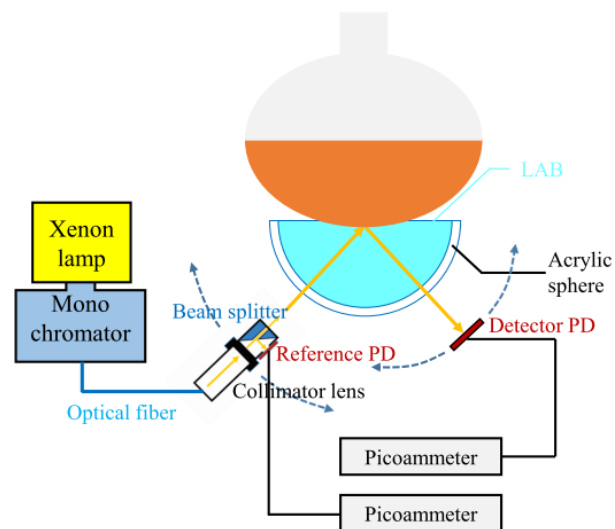
实验测量

➤ 完成了3只20英寸PMT的反射率测量以及量子效率测量

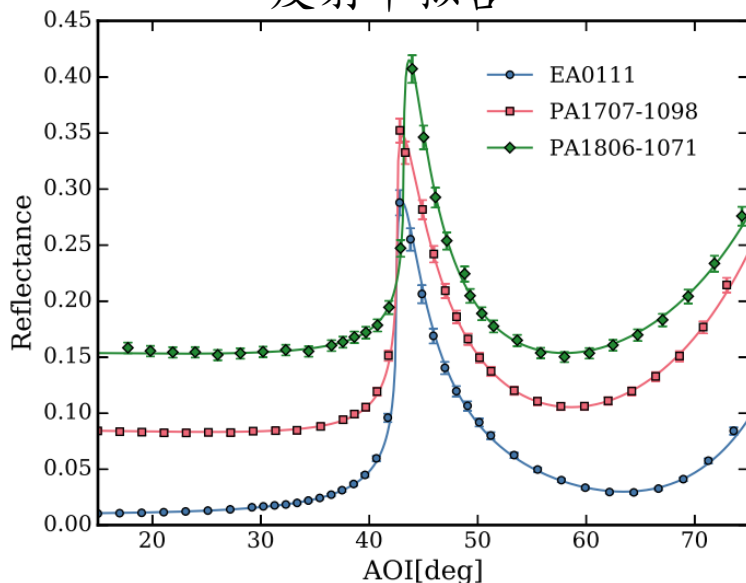
- 波长：390 ~ 500nm
- 入射角：0 ~ 75度

➤ 拟合得到增透膜及光阴极的光学参数

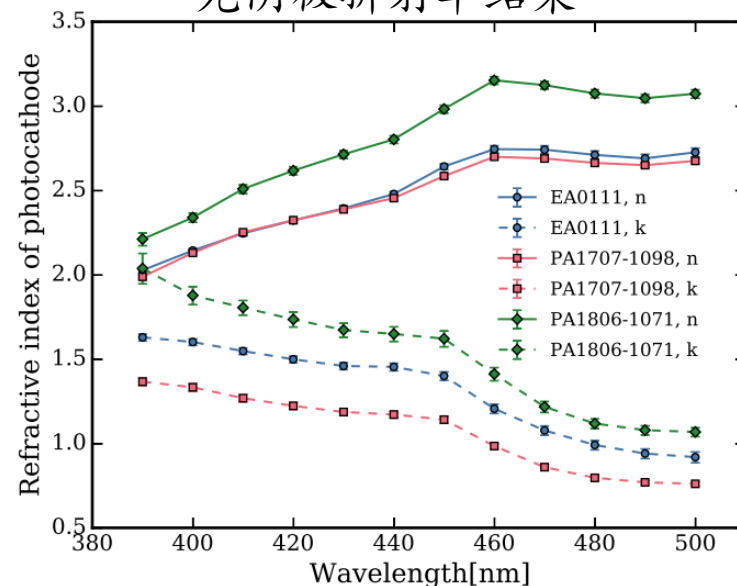
➤ 估计PMT内部结构反射的影响



反射率拟合

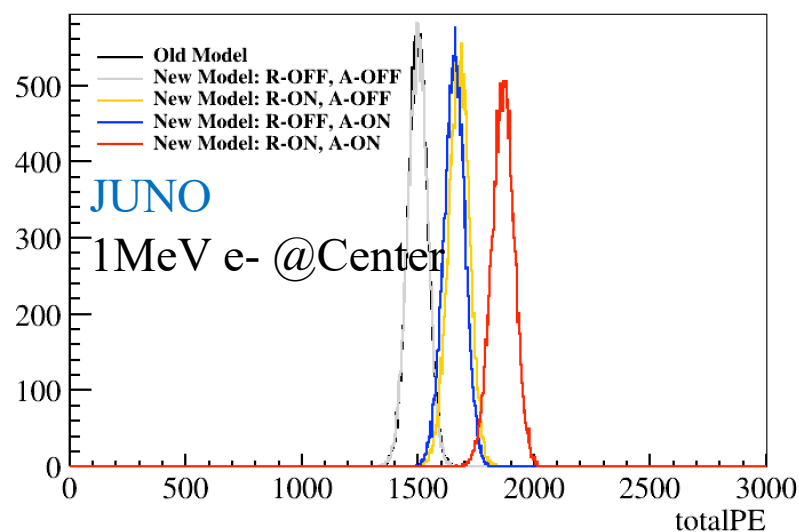
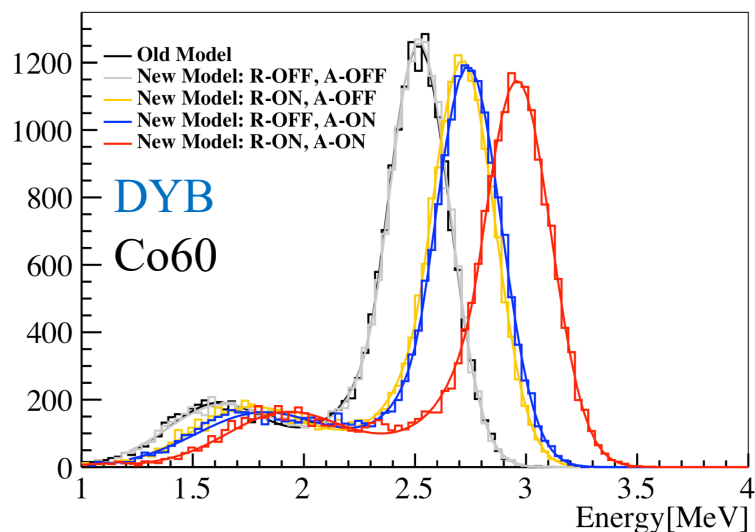


光阴极折射率结果



对JUNO探测器的影响

- 结合新的PMT光学模型，更新了Daya Bay和JUNO探测器模拟，更加合理地预估JUNO的PE数
- 结果表明，JUNO的预期PE数会提高8.3%



- 该结果被JUNO质量顺序文章采用，显著提高JUNO对中微子质量顺序的鉴别能力
- 合理解释国际上大多数中微子实验中，实际观测光子数总是大于预期值的现象
- 2021年JUNO国际科学顾问委员会亮点工作

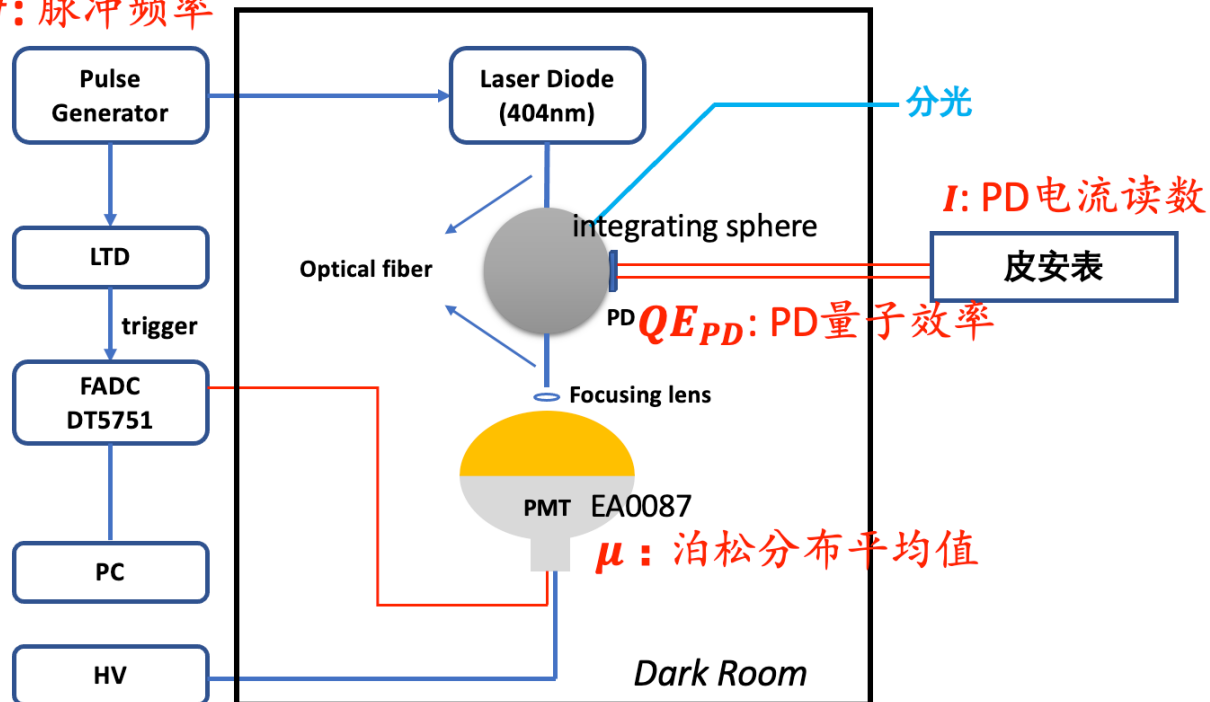
PMT绝对探测效率测量

- 绝对探测效率测量难点在于如何获得入射光子数，过去的探测效率数据依赖于模拟结果

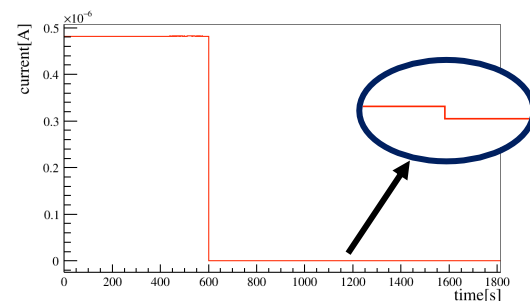
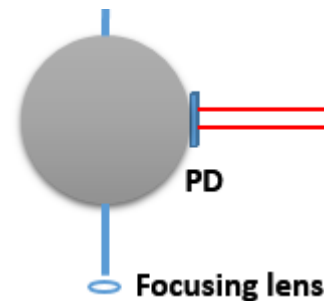
$$DE = \frac{\text{信号数目}}{\text{入射光子数}}$$

- 测量方案

f : 脉冲频率



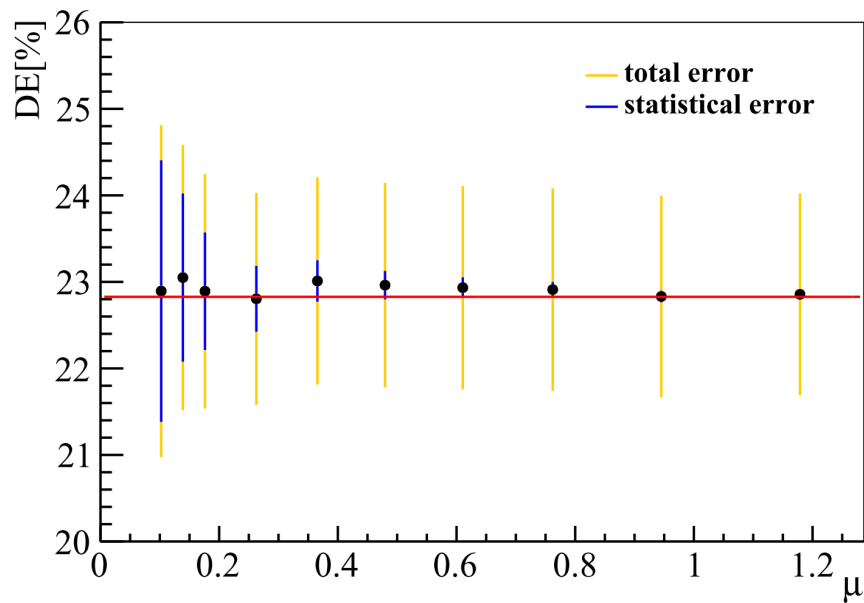
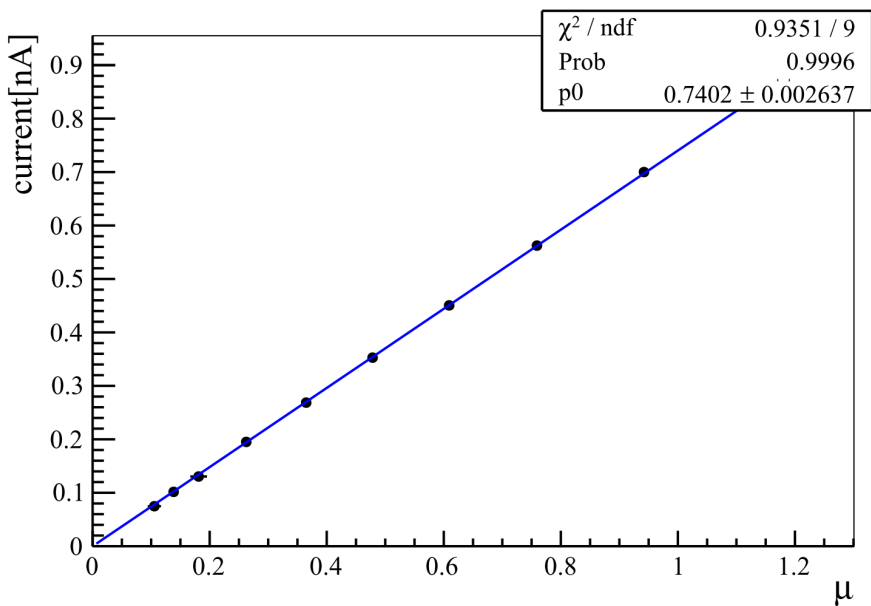
- 分光比测量



$$R = \frac{I_2 - I_0}{I_1 - I_0} = 1663 \pm 10$$

测量结果

- 分别在10组不同光强下进行探测效率测量
- 左图为分光系统的线性测试，即 $\mu - I$ 关系
- 右图为10组光强下探测效率的拟合结果



$$\chi^2 = \sum_{n=1}^{10} \left(\frac{DE[n] - DE_{exp} - \xi_{RCR} - \xi_{QECQE}}{u_n} \right)^2 + \xi_R^2 + \xi_{QE}^2 \xrightarrow{\text{极小化}} DE = (22.9 \pm 1.2) \%$$

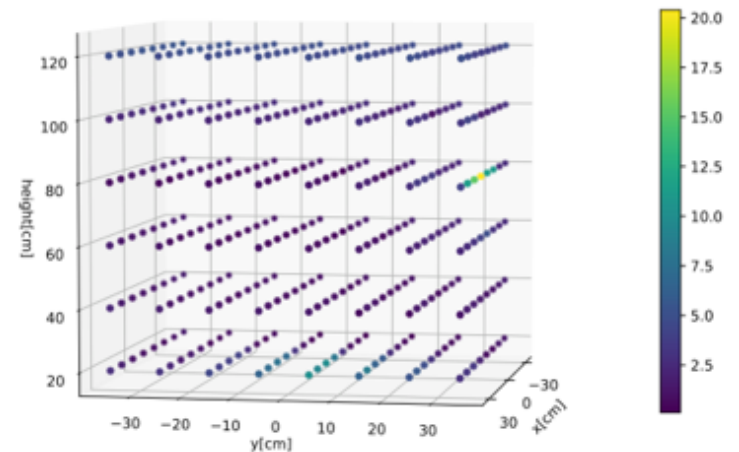
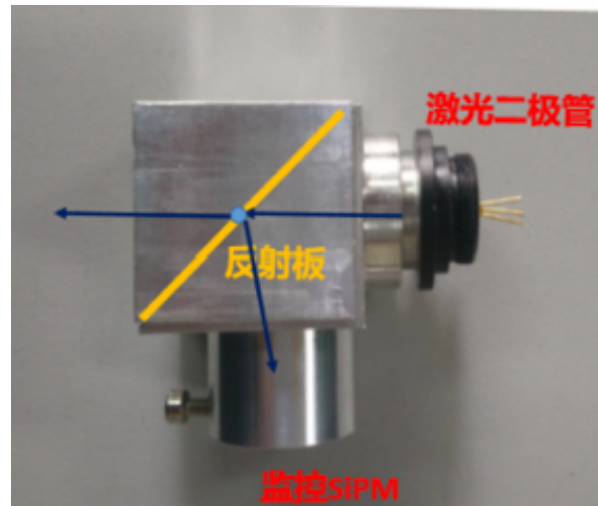
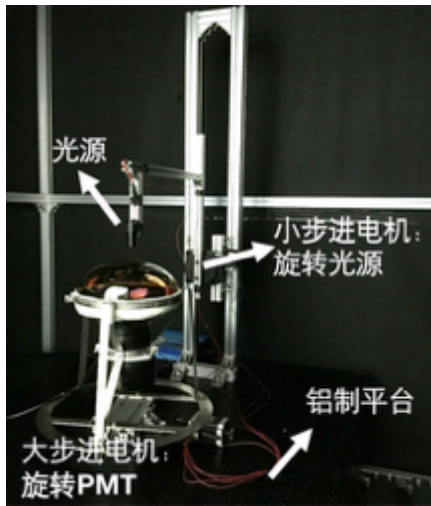
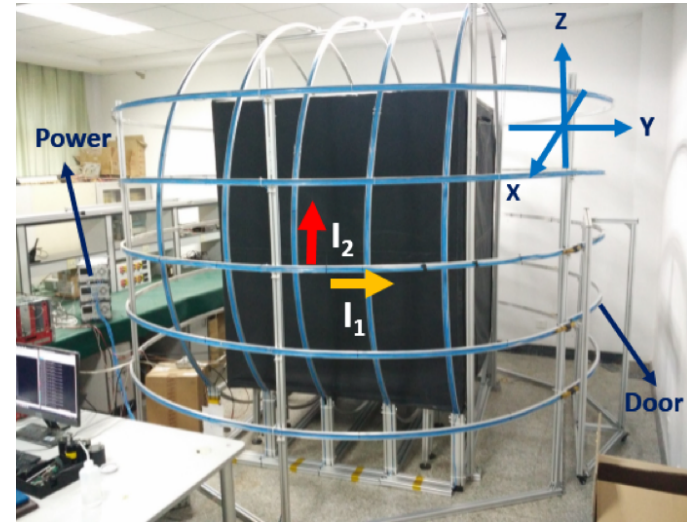
$DE[n]$: 10 measurements of DE
 DE_{exp} : expected DE value, to be fitted
 c_R, c_{QE} : $1\sigma_R$ or $1\sigma_{QE}$ induced DE shift

ξ_R, ξ_{QE} : nuisance parameters
 u_n : uncorrelated error

DE	QE	CE
22.9 ± 1.2	26.7 ± 1.4	85.7 ± 1.6

磁场对PMT探测效率的影响

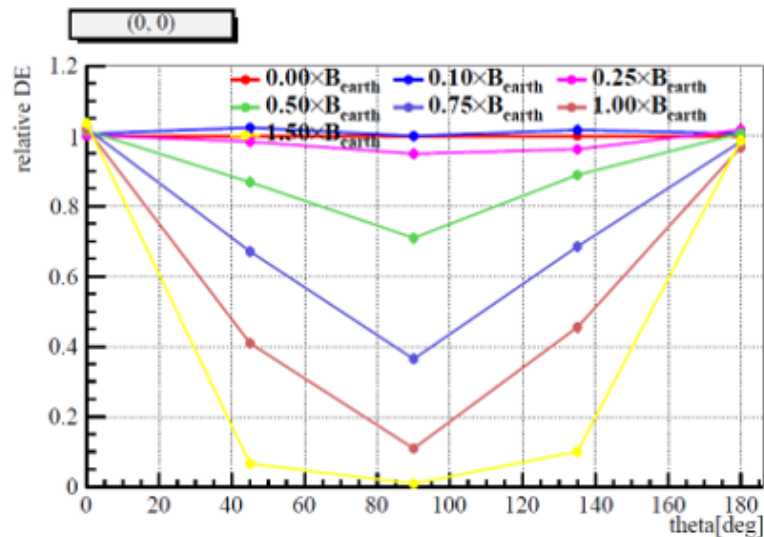
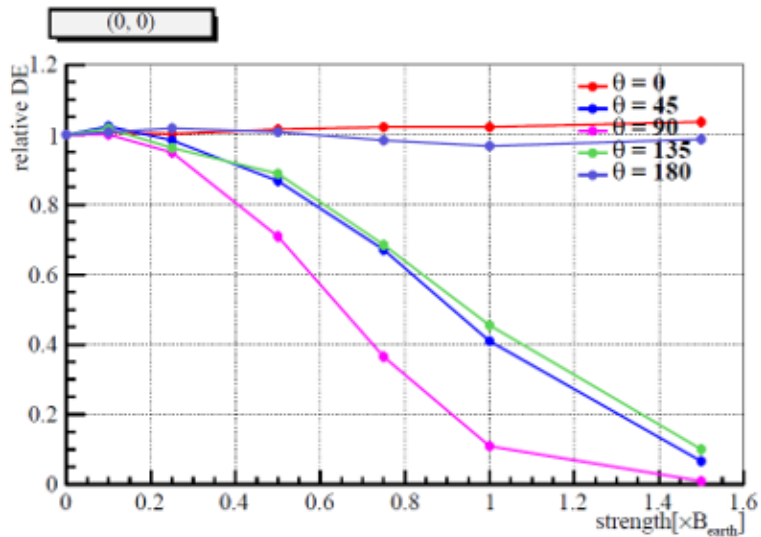
- 搭建了地磁屏蔽系统，中心区域残余地磁场小于~5%
- 步进电机控制PMT及光源旋转
- 对PMT表面不同位置，在不同磁场强度、磁场方向下的效率变化进行了详细研究
- 总结出了磁场对PMT效率影响的规律



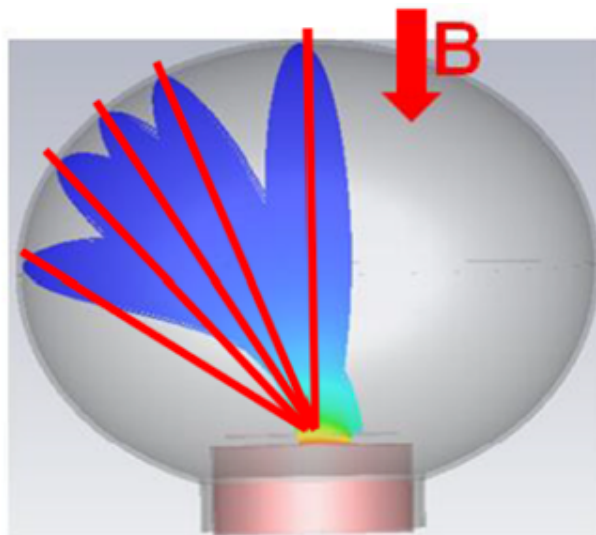
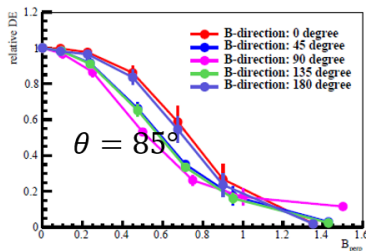
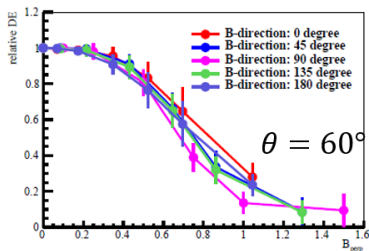
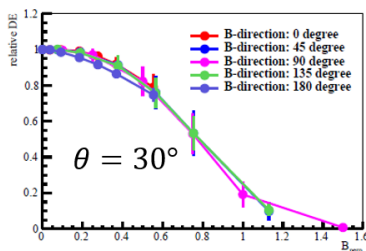
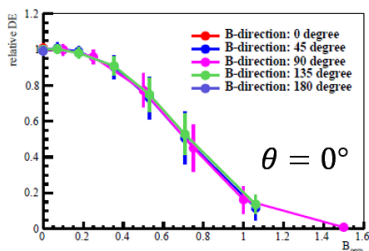
- 主动屏蔽
- 使用两组线圈补偿地磁场的水平和竖直分量

测量结果

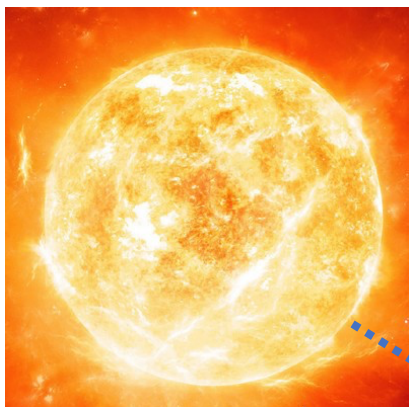
➤ 顶点



➤ 与磁场垂直分量之间的关系



超新星中微子鉴别质量顺序研究



中微子味转换：

- MSW效应
- 集体振荡效应

$$\text{Prob}(|\nu_e\rangle \rightarrow |\nu_i\rangle, E) \equiv P_{ei}$$

超新星中微子能谱：

$$n_{\nu_e}(t, E) = \frac{L(t)}{\langle E(t) \rangle \Gamma(\alpha + 1)} \frac{E^\alpha}{\langle E(t) \rangle^{\alpha+1}} \exp\left(-\frac{(\alpha + 1)E}{\langle E(t) \rangle}\right)$$

超新星表面质量本征态的数密度：

$$n_{\nu_i}(t, E) = n_{\nu_e}(t, E) P_{ei}(E)$$

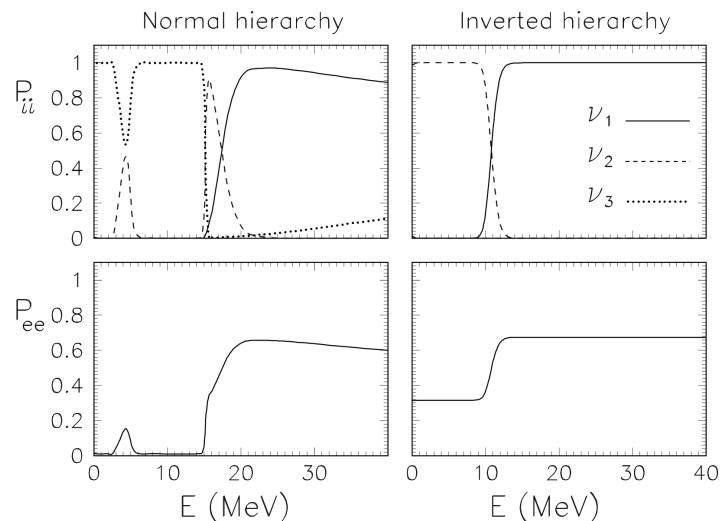
不同质量本征态中微子飞行时间差：

$$\Delta t_{ij} = 5.15 \text{ms} \cdot \frac{\Delta m_{ij}^2 / \text{eV}^2}{(\langle E \rangle / 10 \text{MeV})^2} \cdot \frac{D}{10 \text{kpc}}$$

地球接收的中微子谱：

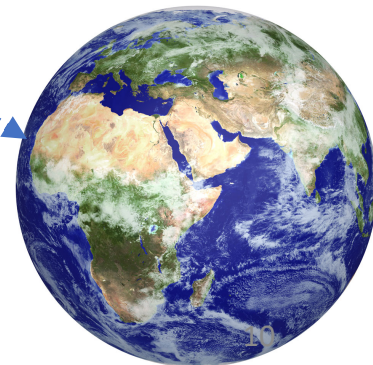
$$F_{\nu_i}(t_d, E) = \frac{1}{4\pi D^2} n_{\nu_e}(t_d - \Delta t_{i1}, E) P_{ei}(E)$$

情形A：



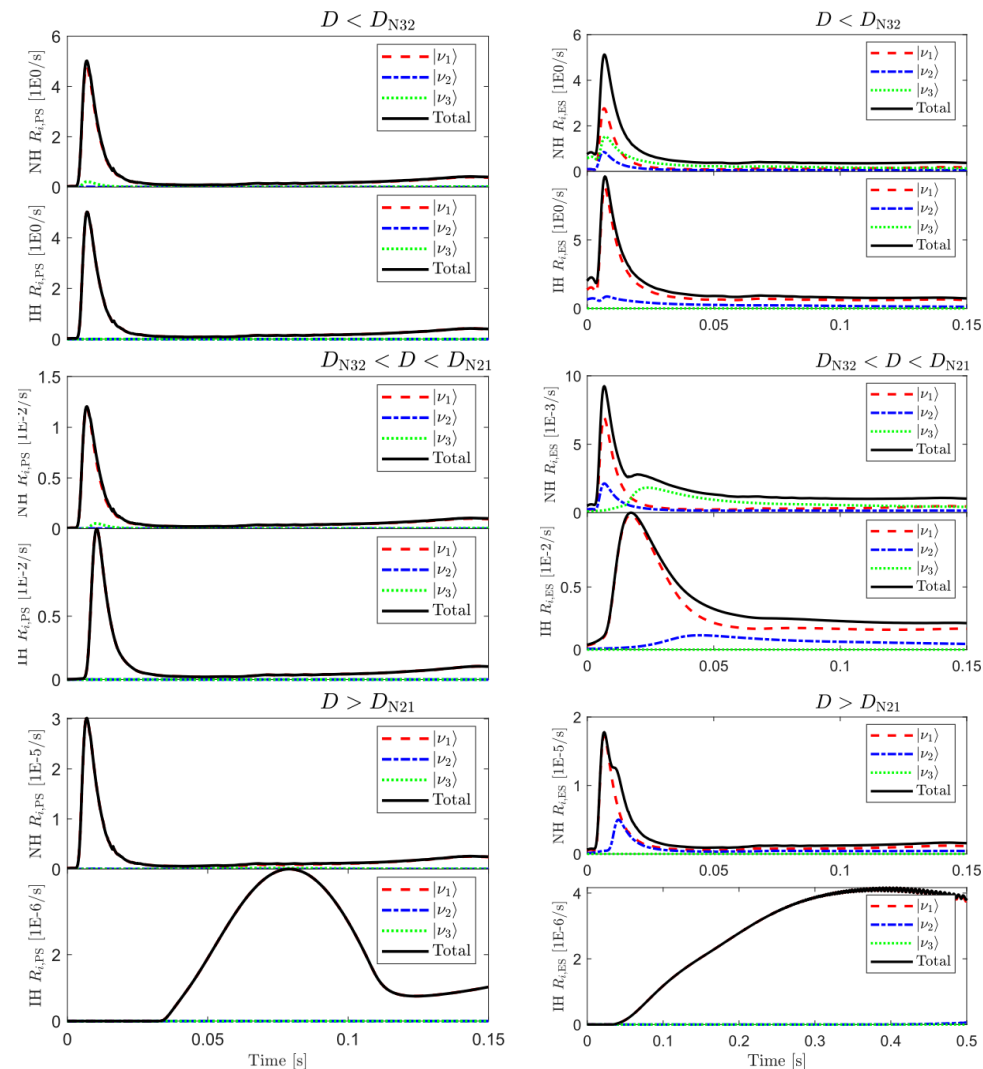
情形B：

$$P_{e1} = \frac{1}{6}, P_{e2} = \frac{1}{3}, P_{e3} = \frac{1}{2}$$



中子化与黑洞形成过程

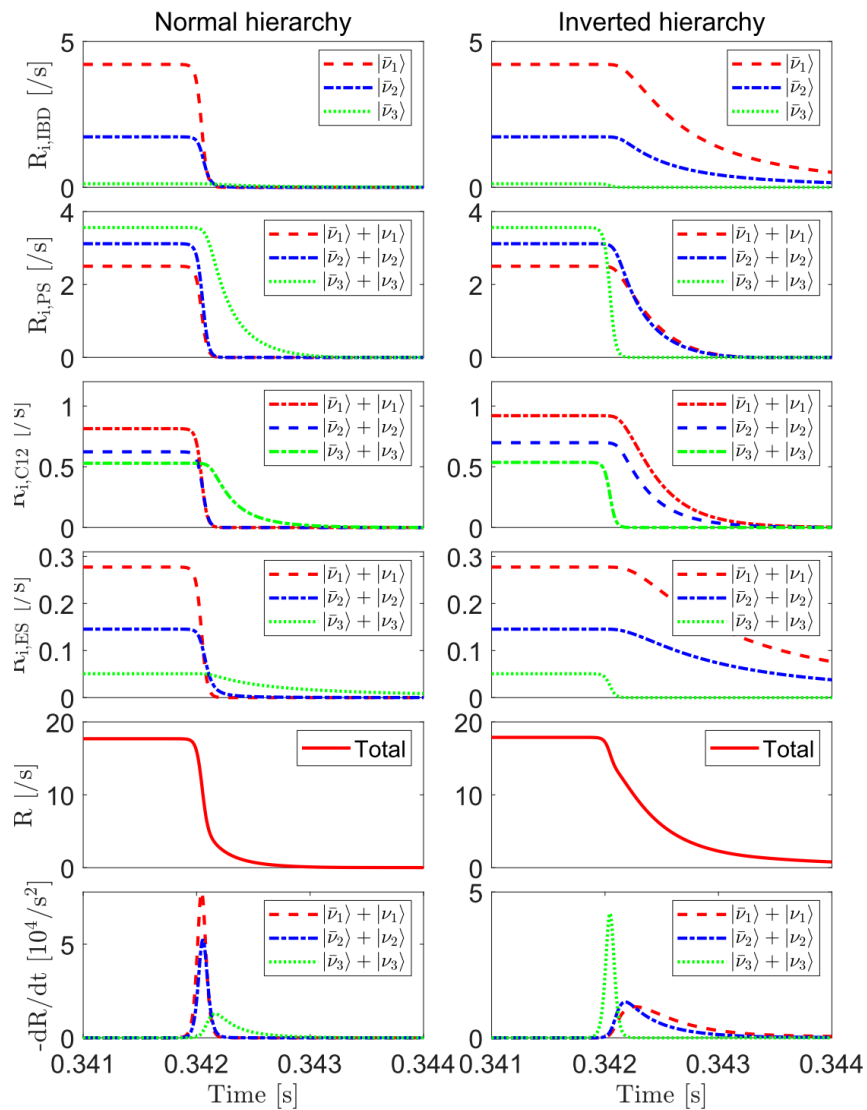
中子化过程



中微子-质子

中微子-电子

黑洞形成过程



尚无法应用于当前中微子实验

工作总结

➤PMT光学模型

- 结合理论计算、实验测量和Geant4模拟，建立了完整的PMT光学模型
- 利用新的PMT光学模型，更加合理地预期了JUNO的光电子数
- 开发了多层介质系统反射率、透过率和吸收率计算的Python包，并完善了TMM理论
- 可以对未来PMT的设计、生产提供优化方向

➤PMT效率研究

- 搭建了屏蔽效果好于~95%的地磁屏蔽间
- 设计积分球分光方法，对PMT的绝对探测效率进行精确标定
- 详细研究了磁场对PMT探测效率的影响，并总结出了一般规律

➤超新星中微子唯象研究

- 尝试利用中子化和黑洞形成过程短时间特征鉴别中微子质量顺序
- 距离与事例率之间的矛盾导致无法用于当前中微子实验之中

文章发表及获奖情况

文章发表

- Junji Jia, Yaoguang Wang and Shun Zhou. On the possibility to determine neutrino mass hierarchy via supernova neutrinos with short-time characteristics. Chin. Phys. C 43(9):095102 2019.
- Yaoguang Wang, Xionghui Liu, Nan Yang et al. Escape, bound and capture geodesics in local static coordinates in Schwarzschild spacetime. Gen Relativ Gravit 52, 16 (2020)
- Yaoguang Wang, Guofu Cao, Liangjian Wen et al. Optical model for larger area PMTs. **To be submitted**
- Yaoguang Wang, Guofu Cao, Liangjian Wen et al. Total internal reflection in a multilayer optical system. **To be submitted**
- Yaoguang Wang, Guofu Cao, Liangjian Wen et al. Magnetic field effects on detection efficiency of PMT. **To be submitted**

获奖情况

- PANIC 2017 Best Poster Prize

未来工作计划

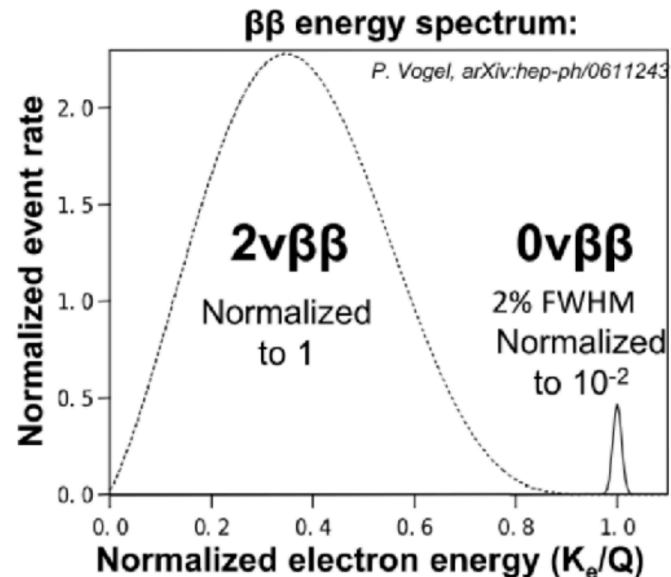
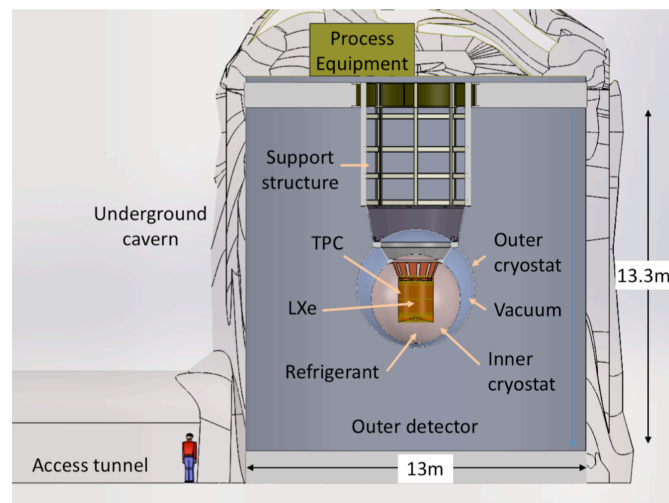
➤ Next Enriched Xenon Observatory (nEXO)

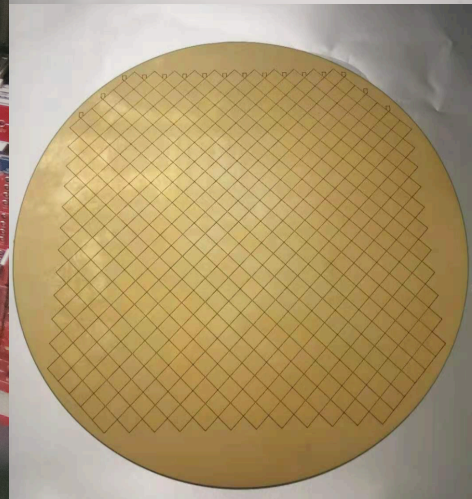
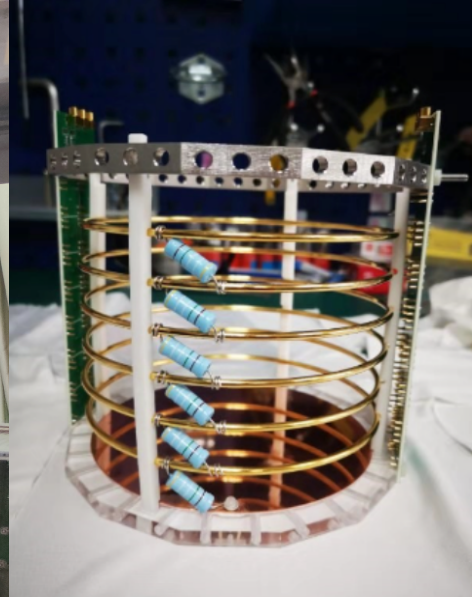
- 利用LXe寻找无中微子双贝塔衰变($0\nu\beta\beta$)
- TPC能量分辨率 $\sim 1\%$
- 关键技术：电荷读出与SiPM技术

➤ miniTPC@IHEP

- **Charge tile**及其芯片的设计和性能测试
- **SiPM**低温性能测试
- 能量分辨率验证测试

miniTPC运行调试中……





谢谢!

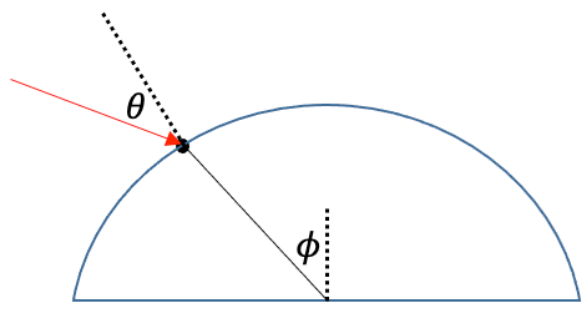
Backup

Basic Idea: DE

➤ DE at one POINT

$$\begin{aligned}
 DE(\lambda, \theta, \phi) &= QE(\lambda, \theta) \cdot CE(\phi) \\
 &= A(\lambda, \theta) \cdot \rho(\lambda) \cdot CE(\phi)
 \end{aligned}$$

↓ absorption ↓ escape factor: escape probability of p.e. from p.c.

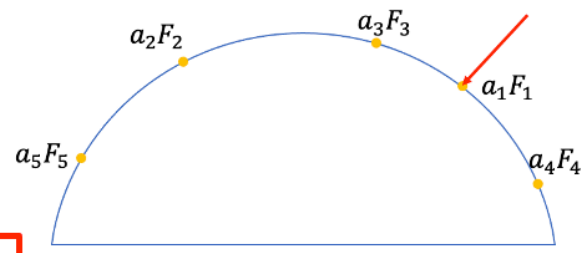
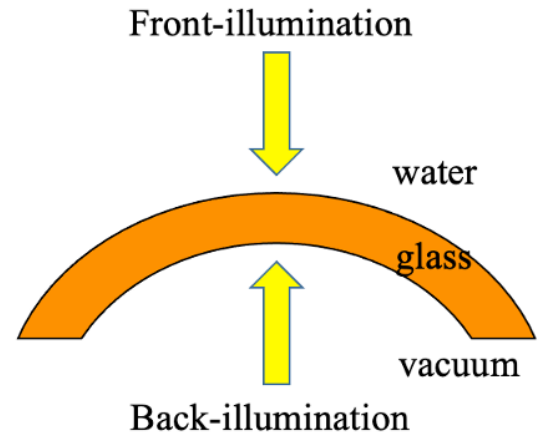


➤ DE for one LIGHT BEAM

- For an arbitrary incident light, DE is contributed by **Front-illumination** and **Back-illumination** due to multiple reflection inside PMT

$$DE = \sum_i a_i \cdot \rho_i \cdot CE_i = \sum_i a_i \cdot F_i$$

- ◆ DE for one light beam is contributed by several POINTS
- ◆ a_i : absorption ratio at each POINT, from simulation
- ◆ F_i : independent of angle of incidence (AOI)



How to get F-factor distribution?--Based on DE data!

Basic Idea: F-factor

- Suppose we have measured n points along two opposite longitudes

- For P_i , its DE is contributed by j points:

$$DE_i = \sum_j a_{ij} F_j'$$

- F_j' can be denoted as weighted mean of $F_1 \sim F_n$:

$$F_j' = \sum_{k=1}^n \beta_{jk} F_k$$

- So,

$$DE_i = \sum_j a_{ij} \sum_{k=1}^n \beta_{jk} F_k = \sum_j \sum_{k=1}^n a_{ij} \beta_{jk} F_k = \sum_{k=1}^n \left(\sum_j a_{ij} \beta_{jk} \right) F_k = \sum_{k=1}^n A_{ik} F_k$$

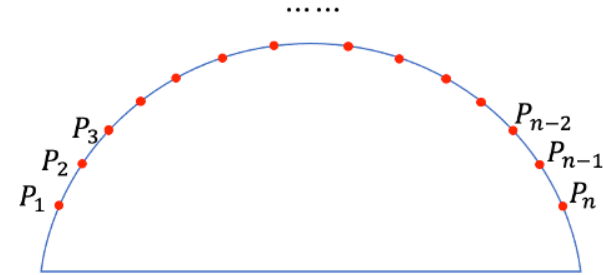
- In matrix form:

from experiment

$$\begin{pmatrix} DE_1 \\ DE_2 \\ \vdots \\ DE_n \end{pmatrix} = \begin{pmatrix} A_{11} & \cdots & A_{1n} \\ \vdots & \ddots & \vdots \\ A_{n1} & \cdots & A_{nn} \end{pmatrix} \begin{pmatrix} F_1 \\ F_2 \\ \vdots \\ F_n \end{pmatrix}$$

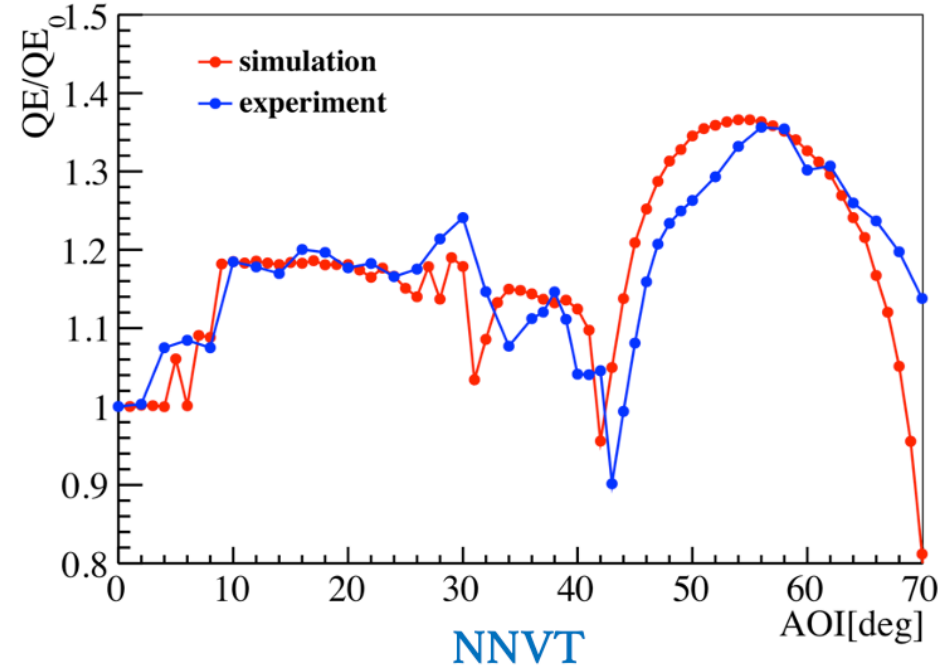
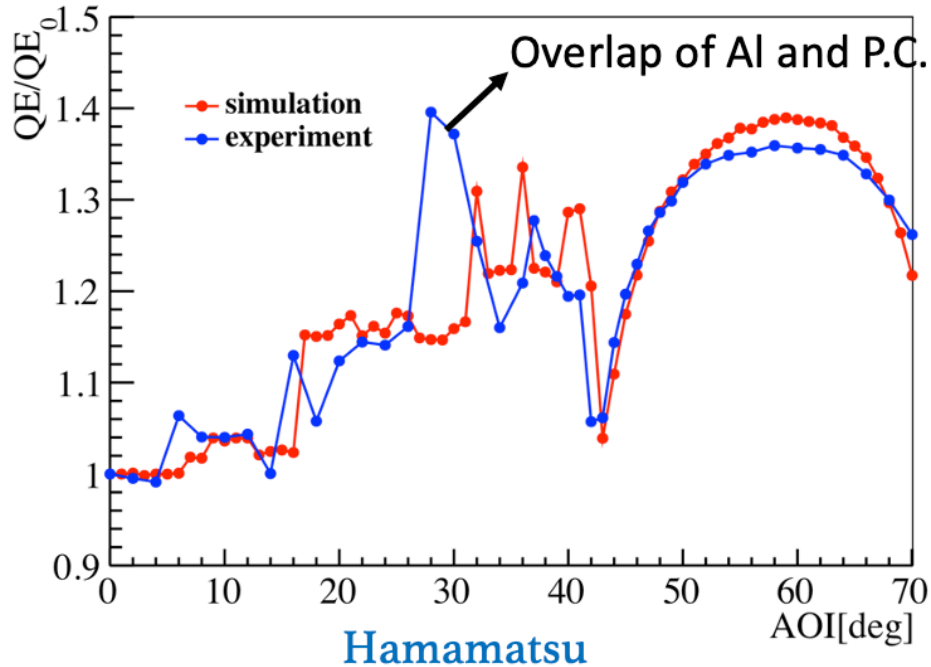
from simulation

- ◆ Then, F distribution can be solved
- ◆ To obtain A matrix, we need to know the **absorption** of photocathode -- **multilayer thin film theory**



QE vs AOI

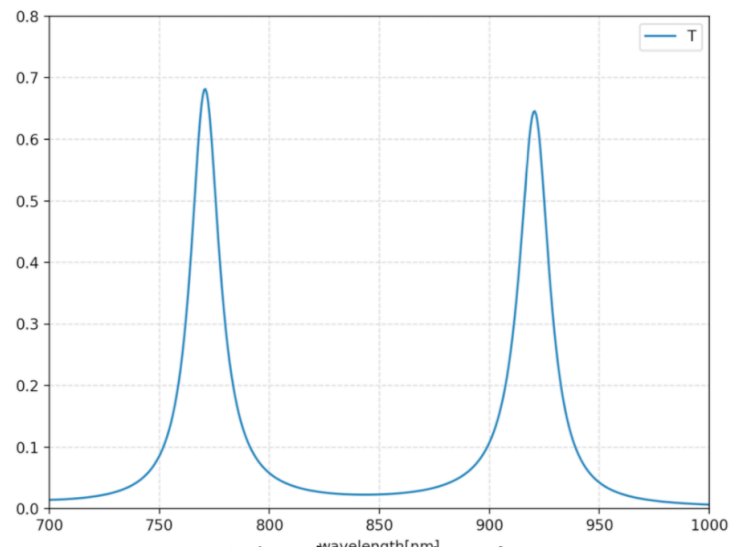
➤ After taking into consideration the optical processes inside PMT, the QE curve can be well simulated



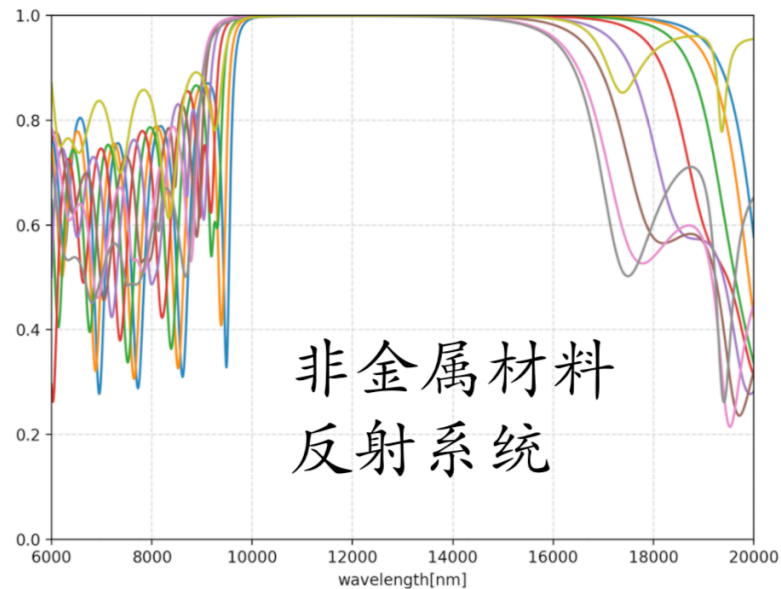
- ◆ Compared with NNVT PMT, the inner structures of Hamamatsu PMT is more complicated
- ◆ Fine structures of the metal tube may lead to fluctuations of QE curve
- ◆ Overlap of photocathode and Al film below the PMT equator is not considered in simulation

多层膜计算Python包

- 吸收率、反射率和透过率计算 (ART)
 - 数据库包含280多种常用材料
 - 任意层数
 - 厚、薄介质任意排列
 - 角度扫描
 - 波长扫描



双模带通滤波器



非金属材料
反射系统